#### Sternaufbau und Sternentwicklung – Teil 1

Dipl.-Phys. Johannes Hölzl hoelzl@naa.net

Nürnberger Astronomische Arbeitsgemeinschaft e.V.

Grundkurs Astronomie
4. November 2024



# Gliederung

- Physikalische Grundlagen
  - Elektromagnetisches Spektrum
  - Aufbau der Materie
  - Licht-Materie-Wechselwirkung
  - Spektroskopie
- Sternentstehung
  - Kollaps von Molekülwolken
  - Kernfusion
  - Frühe Entwicklung
  - Planetenentstehung und Exoplaneten

#### Wie können wir etwas über Sterne lernen?

Unsere wichtigste Untersuchungsmöglichkeit für Sterne: Licht

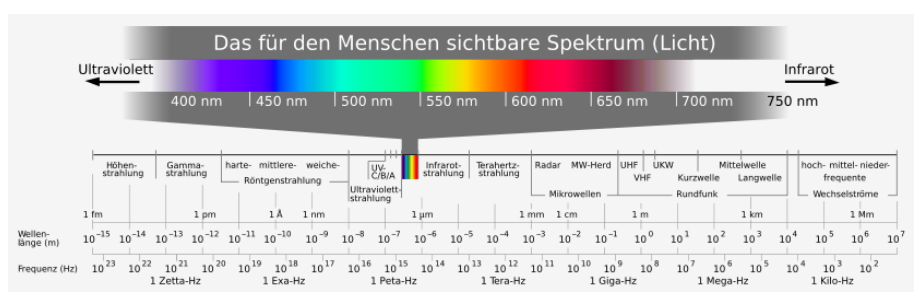


 $[\mathsf{Thomas}\ \mathsf{J\"{a}ger}/\mathsf{NAA}]$ 

- Was können wir aus dem Licht eines Sterns alles erfahren?
- Wie beeinflussen Zusammensetzung, Temperatur etc. das Licht eines Sterns?

### Elektromagnetisches Spektrum I

- Farbe des Lichts  $\widehat{=}$  Energie eines Photons  $\widehat{=}$  Wellenlänge (im Vakuum)
- Astronomische Beobachtung findet nicht nur im sichtbaren Licht statt, sondern in nahezu allen Bereichen des elektromagnetischen Spektrums.



Das elektromagnetische Spektrum [Wikipedia]

### Elektromagnetisches Spektrum II

Zusammenhang Frequenz-Wellenlänge:

$$f \cdot \lambda = c$$

Lichtgeschwindigkeit  $c \approx 299.792\,\mathrm{km/s}$ , Frequenz f, Wellenlänge  $\lambda$ 

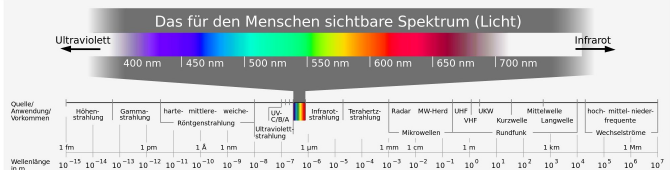
Photonenenergie	hoch	niedrig
Frequenz	hoch	niedrig
Wellenlänge	kurz	lang
Farbe	blau	rot

#### Multiwellenlängenastronomie

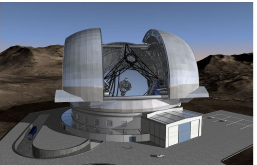






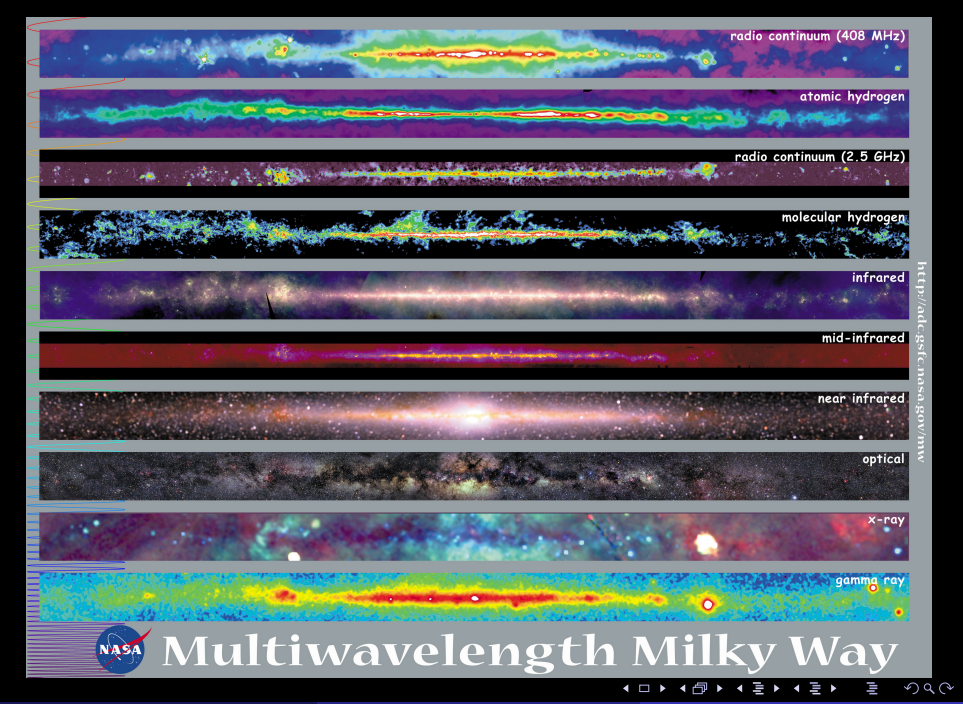






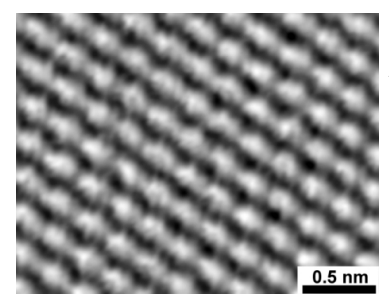


[ESO, NAOJ, NRAO, ESA, MPG]



#### Aufbau der Materie

#### Grundbausteine der Materie: Atome



#### Aufbau der Atome:

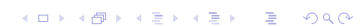
- Atomkern
  - Protonen (positiv geladen)
  - Neutronen (elektrisch neutral)
- Elektronen (negativ geladen)

#### Atome

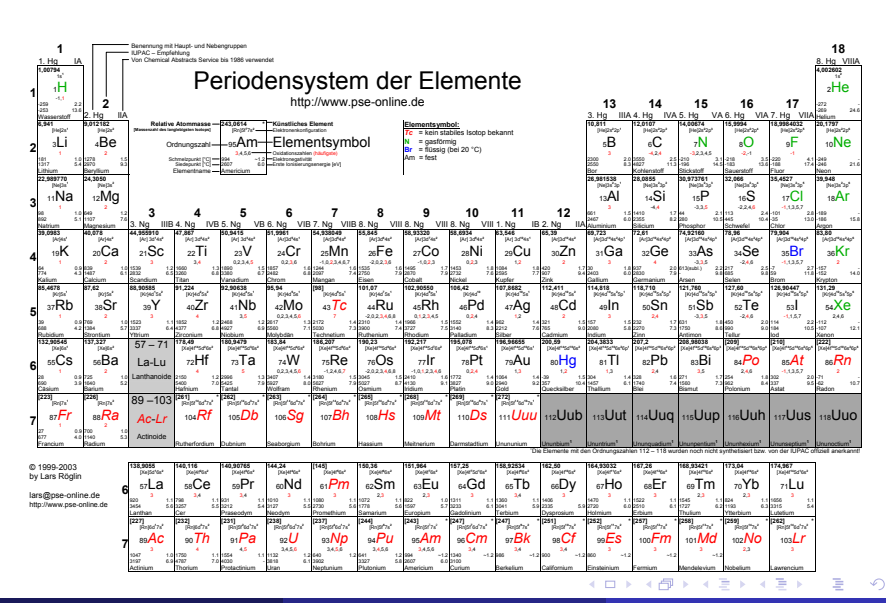
- Die chemischen Eigenschaften eines Atoms werden von der Anzahl der Protonen, der sogenannten Ordnungszahl Z, bestimmt.
- Die verschiedenen Atome bezeichnet man als Elemente
- Verbindungen mehrere Atome bezeichnet man als Moleküle
- Bohrsches Atommodell: Die Elektronen umkreisen den Atomkern auf diskreten Bahnen, nur bestimmte Abstände zum Atomkern sind möglich
- Jeder Bahn ist eine Energie *E* zugeordnet. Energiedifferenz zwischen zwei Bahnen *m* und *n*:

$$\Delta E = E_m - E_n$$

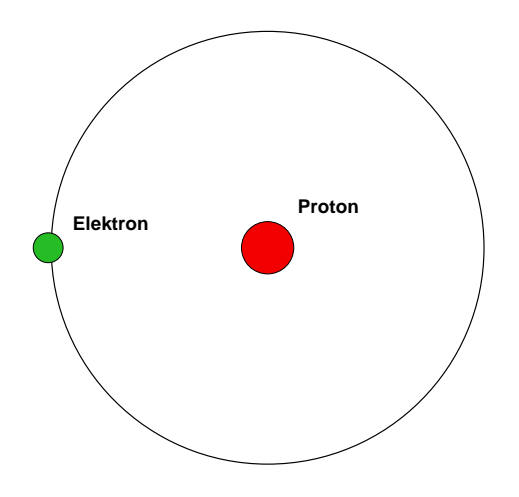
 Anzahl Elektronen = Anzahl Protonen ⇒ Atom ist elektrisch neutral



#### Periodensystem der Elemente

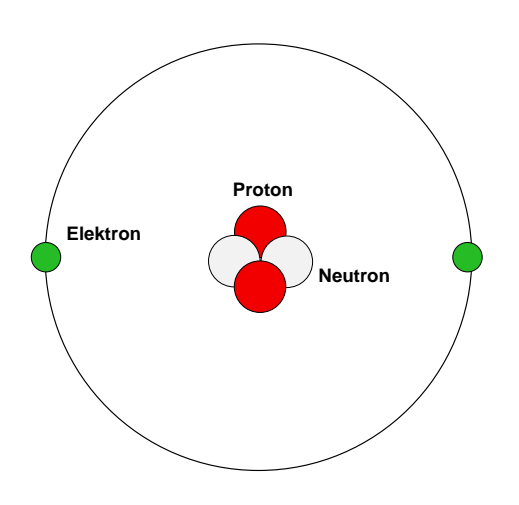


#### Wasserstoffatom



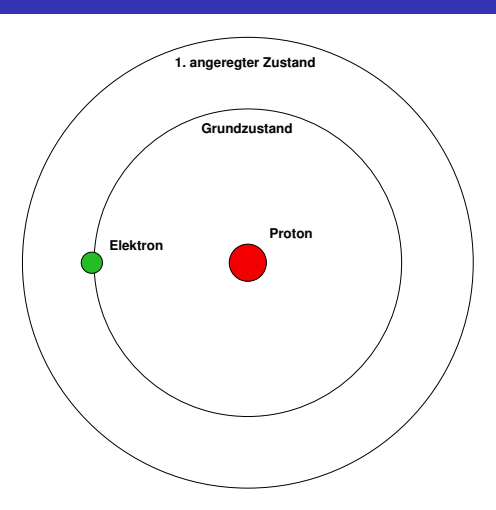
- Kürzel: H (Hydrogenium)
- Einfachstes Atom: 1 Proton, 1 Elektron
- Z = 1
- Häufigstes Element im Universum

#### Heliumatom



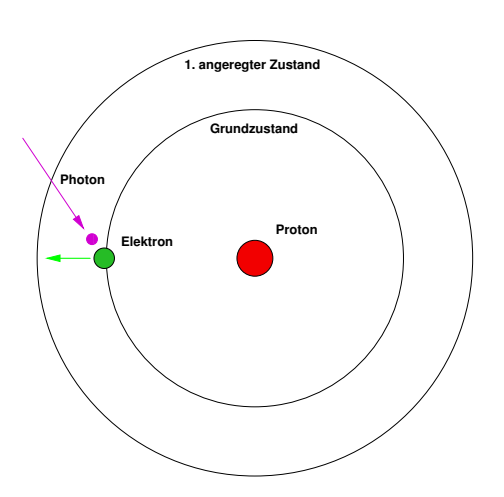
- Kürzel: He (Helium)
- Kern von <sup>4</sup><sub>2</sub>He: 2 Protonen, 2 Neutronen
- 2 Elektronen
- Z = 2
- Zweithäufigstes Element im Universum

## Absorption I



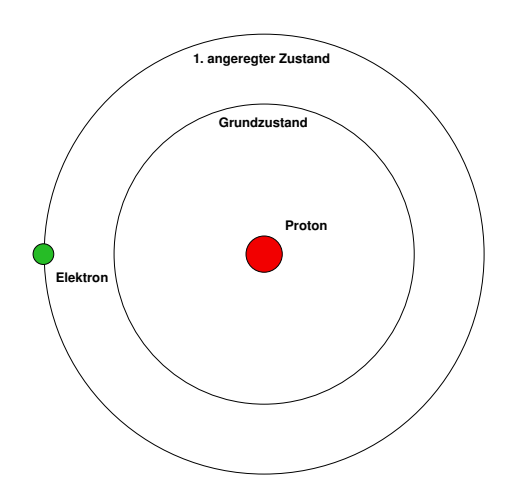
Normalerweise befinden sich die Elektronen im energetisch niedrigsten Niveau (es können sich bei Atomen mit mehrerer Elektronen aber maximal zwei Elektronen im Grundzustand befinden)

## Absorption II



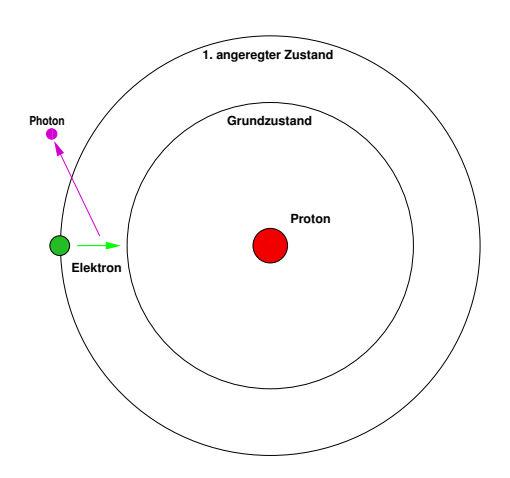
Photon mit der passenden Energie  $\Delta E$  fällt ein: Photon wird absorbiert und das Elektron auf eine höhere Bahn gehoben: angeregter Zustand

#### **Emission I**



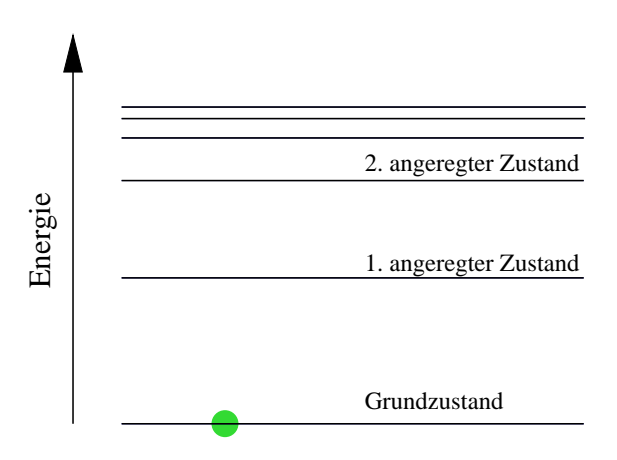
Der angeregte Zustand ist nicht stabil

#### **Emission II**



Elektron fällt nach kurzer Zeit wieder in Grundzustand  $\Rightarrow$  Emission eines Photons mit der Energie  $\Delta E$ 

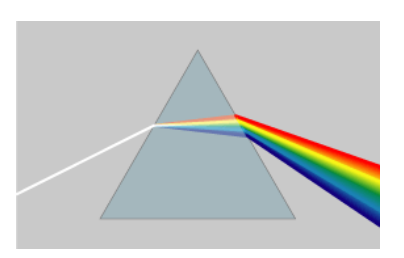
#### Emission III



Abstand der Energieniveaus charakteristisch für jedes Atom bzw. Molekül

Simulation: https://astro.unl.edu/naap/hydrogen/animations/hydrogen\_atom.html

#### Spektroskopie – Analyse des Lichts

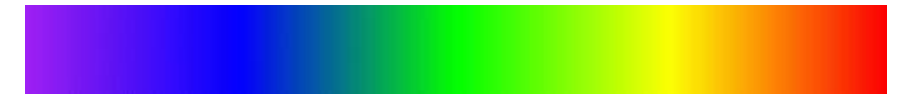


Weißlichtzerlegung mit einem Prisma [Wikipedia]

- Licht lässt sich durch Prismen oder Beugungsgitter in seine Wellenlängen ("Farben") zerlegen
- Verschiedene Elemente haben charakteristische Linien
- ⇒ aus den Spektren von Himmelsobjekten lässt sich deren Zusammensetzung bestimmen

### Spektren

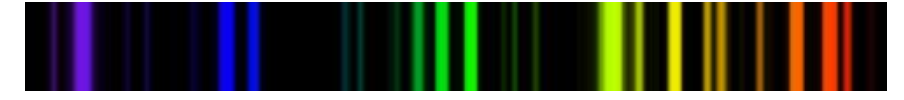
Kontinuierliches Spektrum



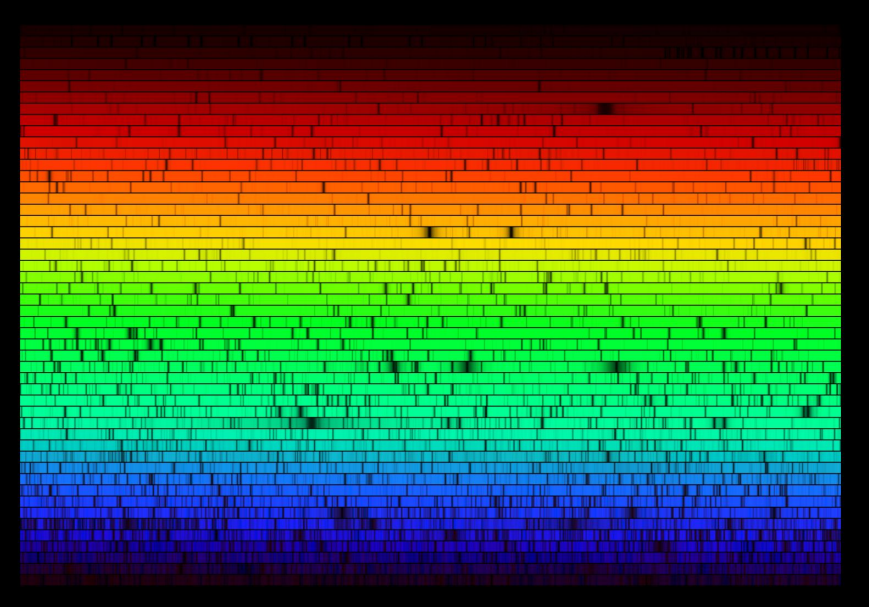
Absorptionsspektrum



Emissionsspektrum

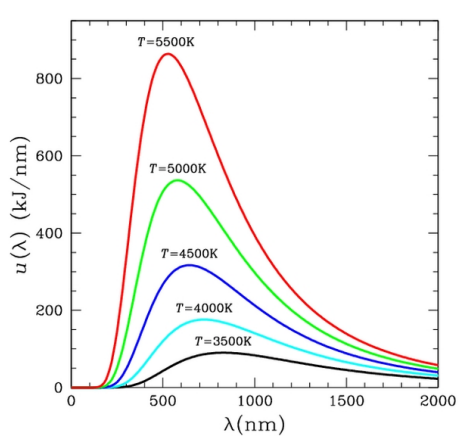


Sternspektren: Absorptionsspektren



Sonnenspektrum [N.A.Sharp, NOAO/NSO/Kitt Peak FTS/AURA/NSF]

#### Plancksches Strahlungsgesetz

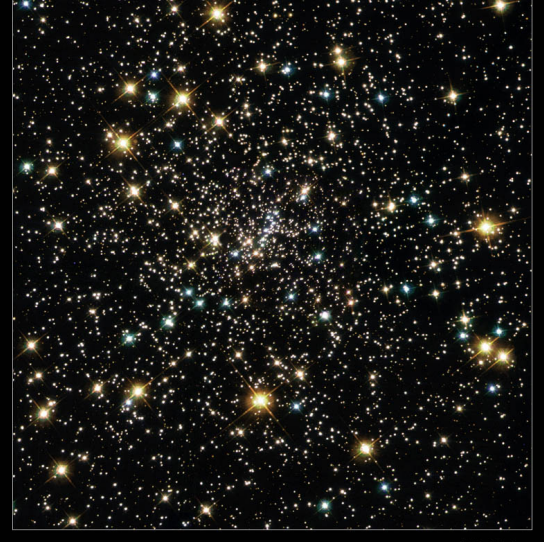


Spektrum eines schwarzen Körpers für verschiedene Temperaturen [Wikipedia]

- Strahlung eines "schwarzen Körpers" abhängig von Temperatur
- Höhere Temperatur ⇒
   Maximum liegt bei
   kurzwelligerer =
   energiereicherer Strahlung
- Bei Raumtemperatur: Maximum liegt im Infraroten

Einfache Möglichkeit zur Temperaturbestimmung: Bei welcher Wellenlänge (=Farbe) ist die Emission am stärksten?

#### Globular Cluster NGC 6397



Hubble Heritage

#### Spektralklassen I

Sterne mit ähnlichen Spektren werden in Spektralklassen unterteilt

#### Harvard-Klassifikation

O - Oh

B – Be

A - A

F - Fine

G - Girl/guy

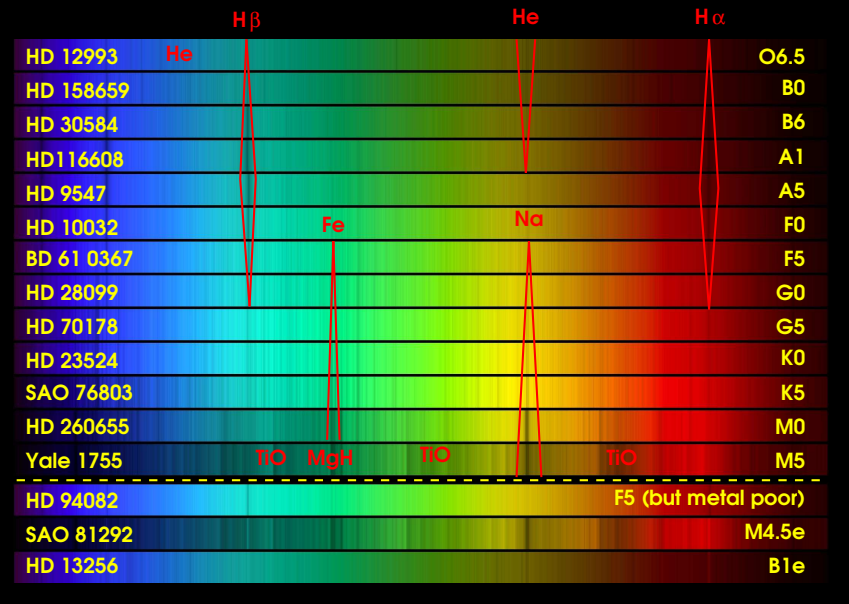
K – Kiss

M - Me

C

# Spektralklassen II

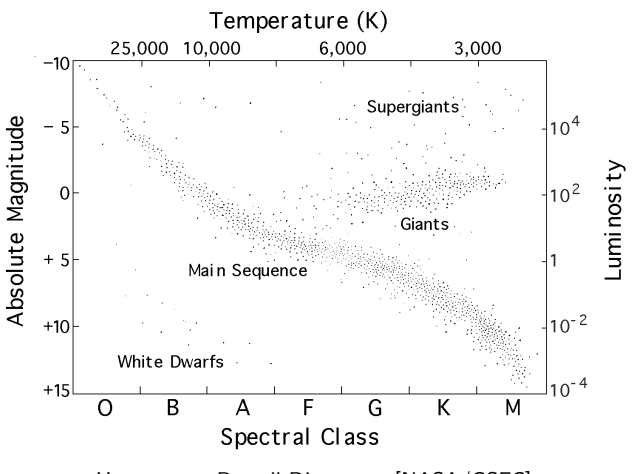
	Temperatur [K]	Kriterien
0	50.000	hochionisierte Atome
В	25.000	He I stark
Α	10.000	H maximal, ionisierte Metalle
F	7.600	ionisierte/neutrale Metalle, Ca II stark
G	6.000	neutrale Metalle, Ca II sehr stark
K	5.100	H schwach, neutrale Atomlinien
М	3.600	Neutrale Atomlinien, Moleküllinien
С	3.000	viel Kohlenstoff



Spektralklassen [NOAO]

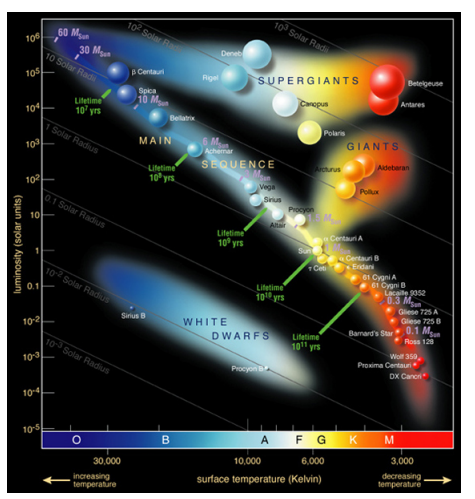


### Hertzsprung-Russell-Diagramm (HRD) I



 $Hertzsprung-Russell-Diagramm\ [NASA/GSFC]$ 

### Hertzsprung-Russell-Diagramm (HRD) II



 $Hertzsprung-Russell-Diagramm\ [ESO]$ 

 $Simulation: \ http://astro.unl.edu/naap/hr/animations/hr.html$ 

# Gliederung

- Physikalische Grundlagen
  - Elektromagnetisches Spektrum
  - Aufbau der Materie
  - Licht-Materie-Wechselwirkung
  - Spektroskopie
- Sternentstehung
  - Kollaps von Molekülwolken
  - Kernfusion
  - Frühe Entwicklung
  - Planetenentstehung und Exoplaneten

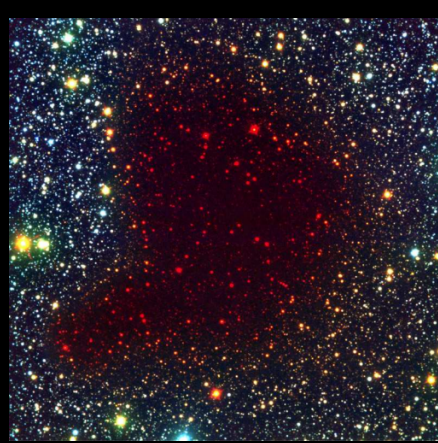
### Dunkelnebel Barnard 7



#### Molekülwolke B68



Molekülwolke B68 im Optischen [ESO; VLT/FORS1]



Molekülwolke B68 im Infraroten [ESO; VLT/FORS1 + NTT/SOFI]

#### Sternentstehung I

Sterne entstehen in Gruppen aus interstellaren Molekülwolken

#### Riesenmolekülwolken

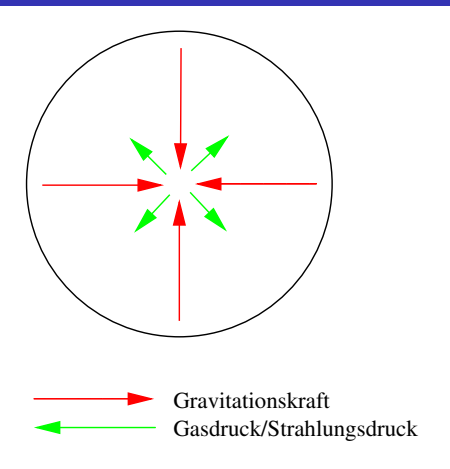
- Ausdehnung: 20 600 Lichtjahre
- Dichte  $H_2$ :  $n = 100-1000 \frac{\text{Teilchen}}{\text{cm}^3}$
- Masse:  $10^4 10^6 M_{\odot}$
- Temperatur: 10-40 K
- Zusammensetzung: Wasserstoff  $(H_2)$ , Kohlemonoxid (CO), Alkohole, andere komplexe organische Moleküle

Molekülwolken kollabieren durch äußere Störungen (z.B. nahe Supernovaexplosion, Kollision zweier Wolken)



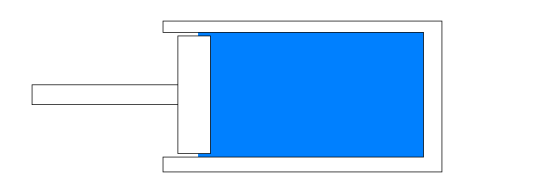
Antennengalaxien [Nasa/ESA/Hubble Heritage Team]

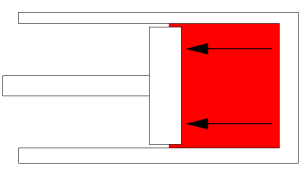
## Sternentstehung II



Bedingung für Kollaps: Gravitationskraft stärker als Gasdruck
 ⇒ Jeans-Kriterium: Bei gegebener Masse muss die Wolke einen bestimmten Radius (Jeans-Radius) unterschreiten, um kollabieren zu können.

### Sternentstehung III





- ullet Gas wird verdichtet  $\Rightarrow$  Druck und Temperatur steigen
- Drehimpulserhaltung: Fragmentierung der Wolke
- ullet Entstehung eines ersten hydrostatischen Kerns mit ca 0,01  $M_{\odot}$  (d.h. Gravitationskraft wird durch Gasdruck kompensiert)

### Sternentstehung IV

- $\bullet$  Kern wird durch einfallende Materie bis mit  $\mathcal{T}\gtrsim 2000\,\mathrm{K}$  weiter aufgeheizt
- die Wasserstoffmoleküle werden dissoziiert (in ihre Atome aufgelöst) ⇒ Kern kollabiert weiter
- Entstehung eines zweiten hydrostatischen Kerns mit  $T \approx 10.000\,\mathrm{K}$
- Hülle stürzt nahezu ungebremst auf den Kern ein
- Kinetische Energie wird in Leuchtkraft umgewandelt
   ⇒ weitere Erhitzung

Nach Erreichen von ca. 1 Mio K: Kernfusion



Modellrechnung zur Sternentstehung:

http://www.astro.ex.ac.uk/people/mbate/Cluster/cluster3d.html

## Sternentstehung V

Weitere Entwicklung abhängig von der Masse M der Verdichtung

- $M \lesssim 0.08 \, M_{\odot}$ : Temperatur  $< 1 \, \text{Mio K} \Rightarrow \text{keine Kernfusion, "Brauner Zwerg"}$
- $M \gtrsim 0.08 \, M_{\odot}$ : Temperatur  $> 1 \, \text{Mio K} \Rightarrow \text{Kernfusion setzt ein, nachdem nahezu}$  alles Gas auf den Stern eingefallen ist
- $M\gtrsim 3\,M_\odot$ : Temperatur  $>1\,\mathrm{Mio}\,\mathrm{K}\Rightarrow\mathrm{Kernfusion}$  setzt schon ein, während noch Materie auf den Stern einfällt, ein großer Anteil der ursprünglichen Masse wird durch den Strahlungsdruck wieder abgestoßen

## Energieerzeugung in Sternen

Früher vermutete man, dass Sterne Energie erzeugen, indem sie kontrahieren und sich dabei erhitzen. Problem: Zeitskala zu kurz.

Lösung: Kernfusion

Wasserstoffkerne verschmelzen zu Heliumkernen

$$4\times^1_1\mathsf{H}\to\ ^4_2\mathsf{He}$$

Der Heliumkern hat 0,7 % weniger Masse als die 4 Wasserstoffkerne

## Energieausbeute

Einstein: Masse und Energie sind äquivalent

$$E = mc^2$$

Vakuumlichtgeschwindigkeit  $c \approx 300.000 \, \frac{\mathrm{km}}{\mathrm{s}}$ 

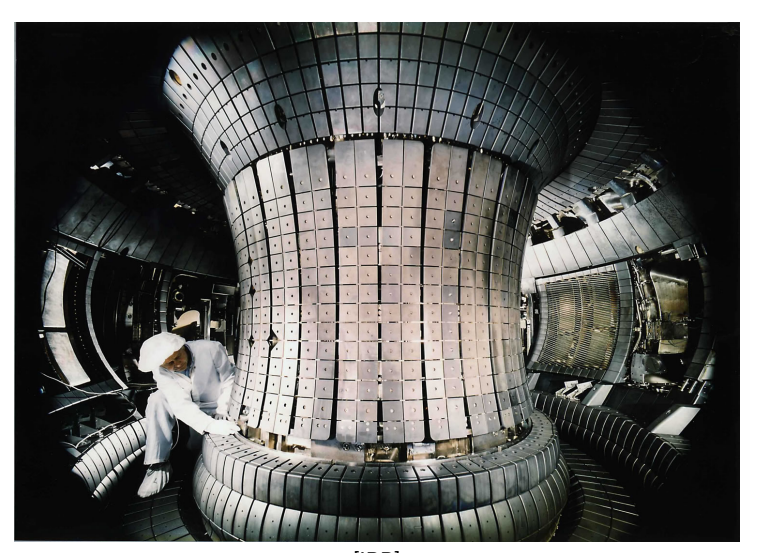
- 1 g Materie entspricht 25 GWh Energie
- Da bei der Kernfusion 0,7 % der Masse in Energie umgewandelt werden, werden bei der Fusion von 1 g Wasserstoff 175 MWh Energie freigesetzt.





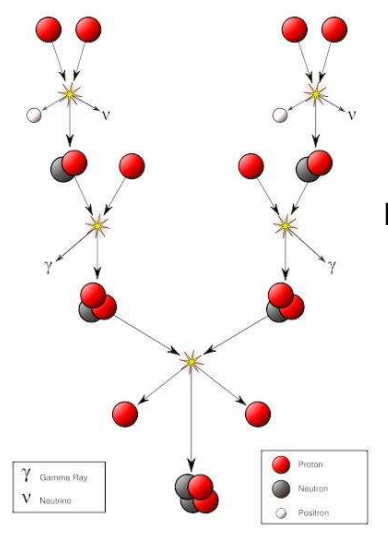
[Pro Aurum / E.ON Kernkraft GmbH]

# Fusionsreaktor ASDEX Upgrade



[IPP]

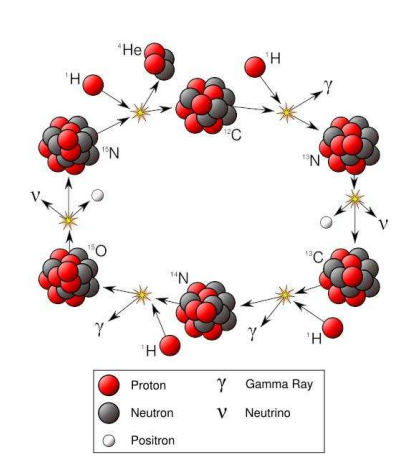
## Proton-Proton-Zyklus



Dominierender Prozess in der Sonne

$$\epsilon_{
m pp} \propto T^5$$

## Bethe-Weizsäcker-Zyklus



- Weitere Bezeichnung: CNO-Zyklus
- Dominierender Prozess bei Sternen mit hohen Kerntemperaturen

$$\epsilon_{\mathsf{CNO}} \propto T^{17}$$

## Junger Stern

- Stern aufgrund der umgebenden Gaswolke zunächst unsichtbar
- Junger, heißer Stern hat intensiven Sternwind und Strahlungsdruck
- umgebende Gaswolke wird durch UV-Strahlung und Sternenwind aufgelöst
- Stern wird sichtbar

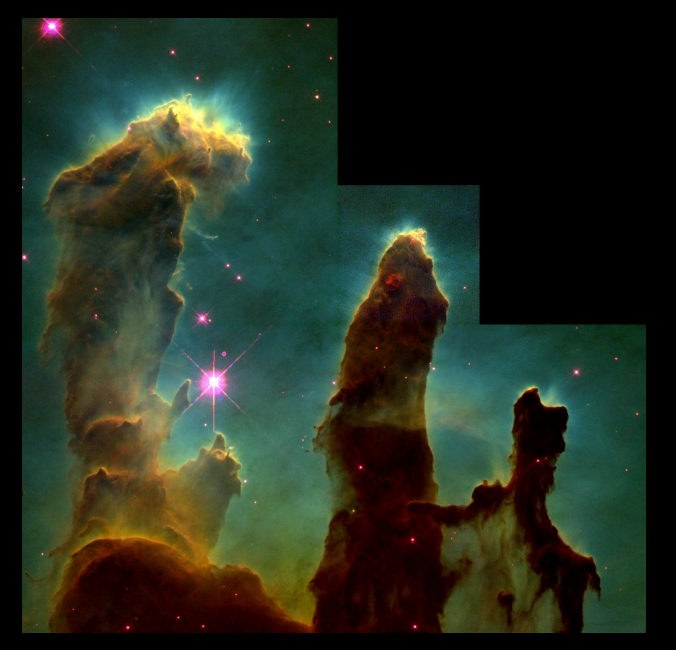




Schematische Darstellung / LDN 1471 in Perseus-Molekülwolke [STScI / Hubble, NASA, ESA; Judy Schmidt]



HST-Aufnahme des Adlernebels M16 [NASA]



"Pillars of creation" in M16, in den Spitzen der Gassäulen befinden sich junge Sterne [NASA] 4□ > 4□ > 4 글 > 4 글 >



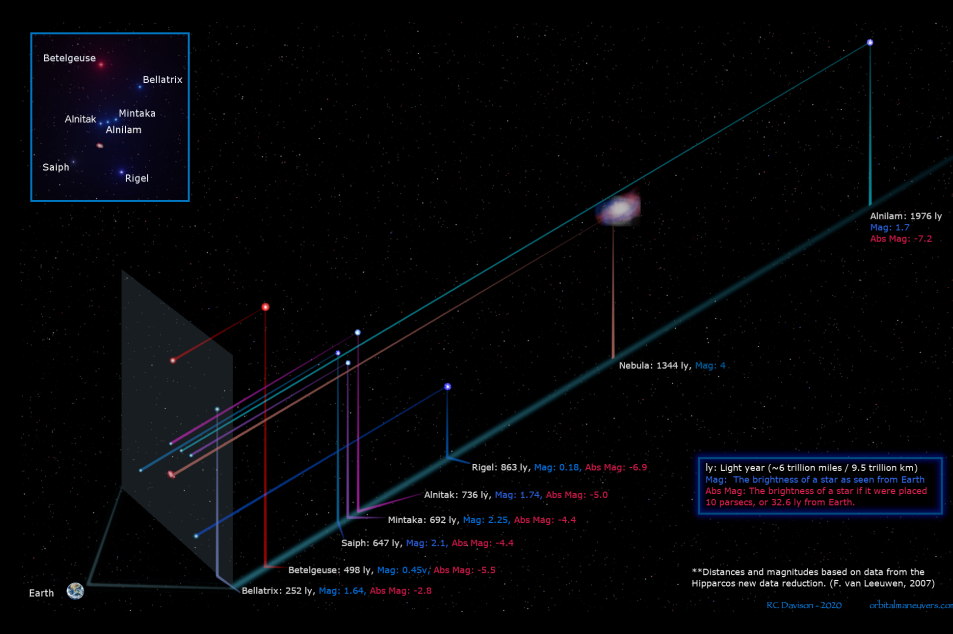
NGC 7822 [Hartmuth Kintzel (NAA)]



NASA, ESA, F. Paresce (INAF-IASF, Italy), and the WFC3 Science Oversight Committee

STScI-PRC09-32a







Orion-Molekülwolkenkomplex [Wikimedia/Rogelio Bernal Andreo]



HST-Aufnahme des Orionnebels M42 [NASA]



Ausschnitt des Orionnebels M42 [NASA]

Video zum Orionnebel:

https://www.youtube.com/watch?v=cg2r5fzS7aE



Sternentstehung im Orionnebel (Modellrechnung) [VisLab SDSC]



Der offene Sternhaufen M45 (Plejaden) [R. Sperber (NAA)]



Der offene Sternhaufen M45 (Plejaden) [Hartmuth Kintzel (NAA)]



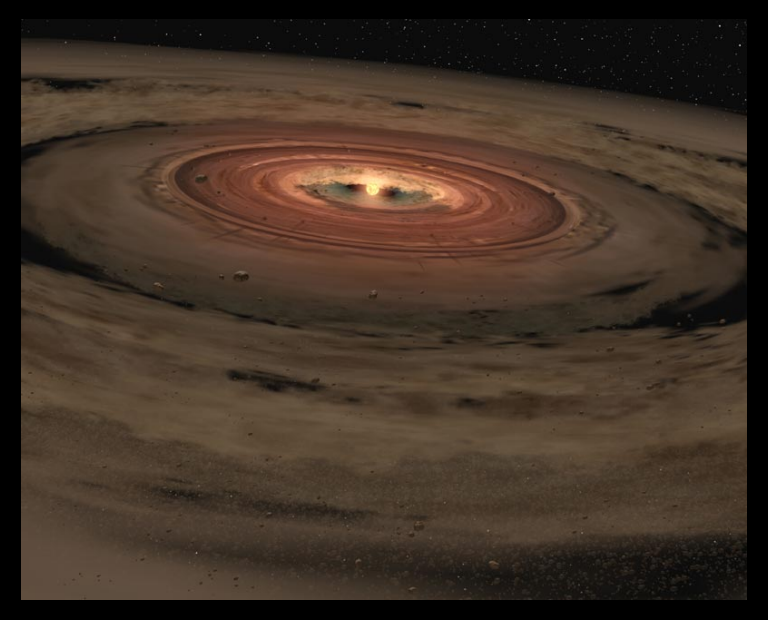
Der offene Sternhaufen NGC 3603 [NASA, ESA, and the Hubble Heritage]



Protoplanetare Scheibe im Orionnebel [C.R. O'Dell/Rice University, and NASA]



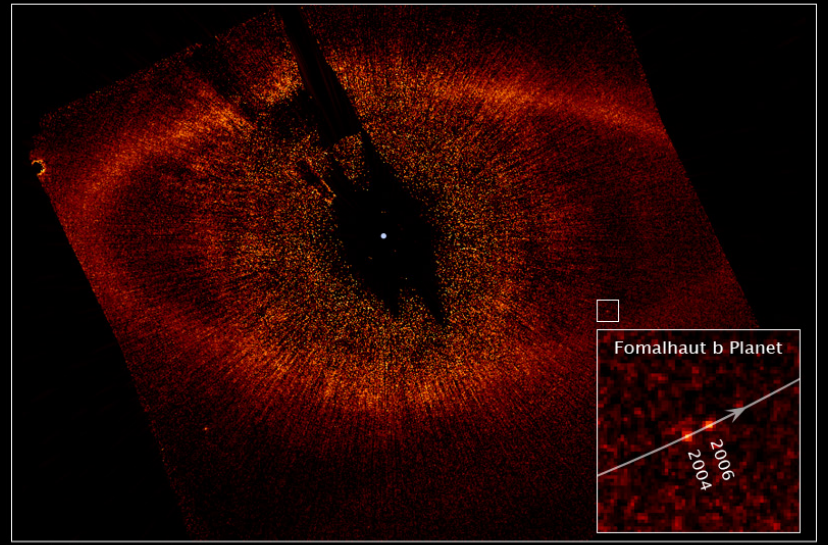
Protoplanetare Scheiben im Orionnebel [NASA/ESA and L. Ricci (ESO)]



Planeten entstehen aus Staubscheiben um Sterne (Computergraphik) [NASA/JPL]

#### Fomalhaut System

#### Hubble Space Telescope • ACS/HRC

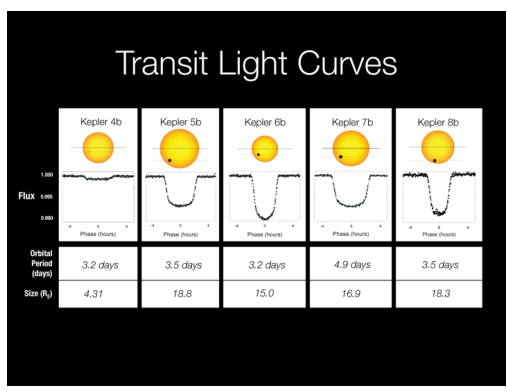


NASA, ESA, and P. Kalas (University of California, Berkeley)

STScI-PRC08-39a

Staubscheibe und Planet um Fomalhaut, Entfernung:  $25\,\text{Lichtjahre}$  [NASA/ESA]

### Extrasolare Planeten: Nachweis



[Bill Borucki, Jan 2010 AAS Presentation]

- Direkte Abbildung
- Radialgeschwindigkeitsmethode
- Transitmethode
- Eigenbewegung
- Gravitationslinseneffekt
- Pulsar Timing

 $http://astro.unl.edu/naap/esp/animations/radialVelocitySimulator.html \\ http://astro.unl.edu/naap/esp/animations/transitSimulator.html$ 



### Extrasolare Planeten

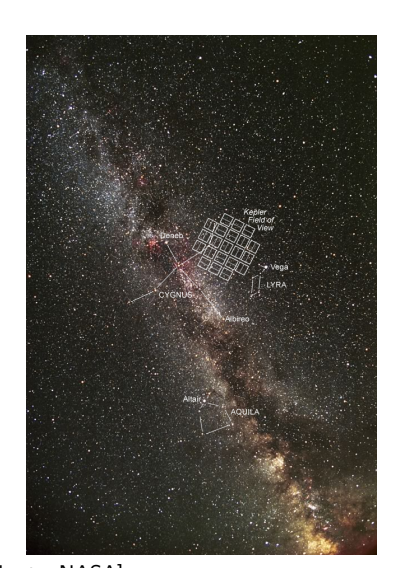
#### 5785 Exoplaneten (Stand 3. November 2024)



[https://exoplanets.nasa.gov/discovery/discoveries-dashboard/]

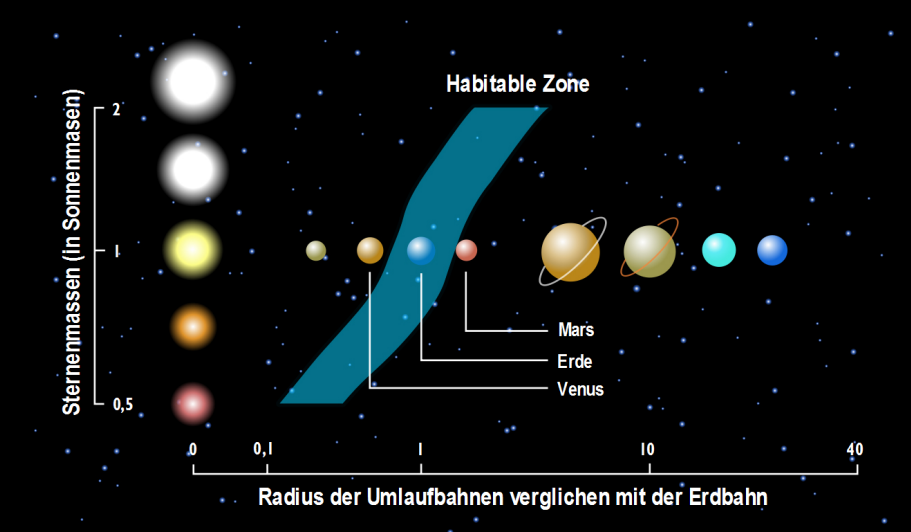
# Weltraumteleskop Kepler





[Carter Roberts, NASA]

## Habitable Zone

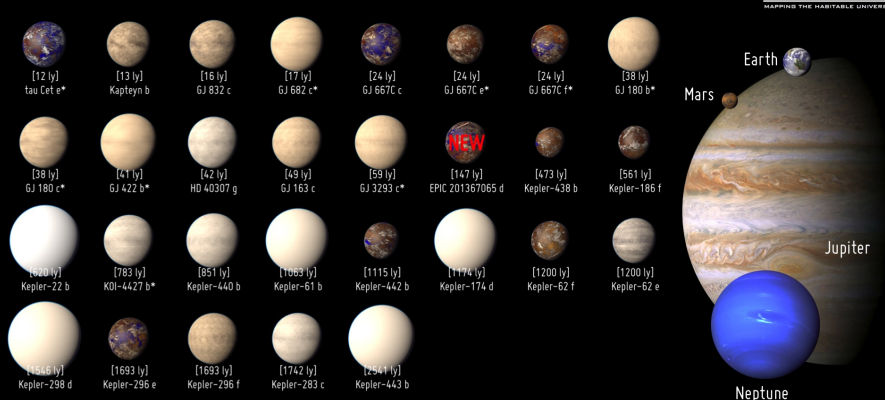


 $Simulation: \ http://astro.unl.edu/naap/habitablezones/animations/stellar Habitable Zone.html \\$ 

#### Potentially Habitable Exoplanets

Ranked by Distance from Earth (light years)

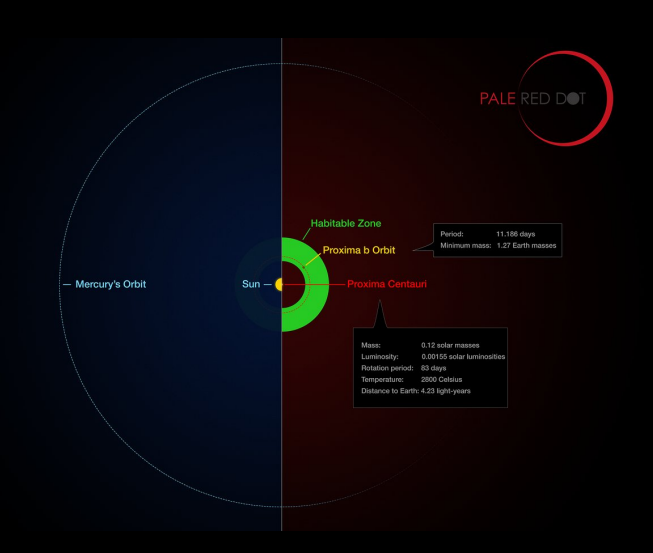




Artistic representations. Earth, Mars, Jupiter, and Neptune for scale. Distance is between brackets. Planet candidates indicated with asterisks.

CREDIT: PHL @ UPR Arecibo (phl.upr.edu) January 16, 2015

## Proxima Centauri



 $[\mathsf{ESO}/\mathsf{M}.\ \mathsf{Kornmesser}/\mathsf{G}.\ \mathsf{Coleman}]$ 

## Nächste Woche:



Sternaufbau, Sternentwicklung, Endstadien